

蘇聯汽車和拖拉機工業部  
汽車和汽車發动机科學研究院  
汽車專門實驗室

# 汽車構造的發展

第十冊

H. A. 布哈林教授著  
向平譯 鄭紅校

人民交通出版社

苏联汽車和拖拉机工业部

汽車和汽車发动机科学研究院

汽車專門實驗室

# 汽車構造的發展

## 第十冊

(汽車制动系結構的分析和发展远景)

H. A. 布哈林教授著

向平譯 鄭紅校

人民交通出版社

本書分析了各式汽車制動系結構的发展和敘述了苏联远景型式汽車用各  
种制动机構和傳动裝置的型式。

本書可供汽車工业和拖拉机工程技术人员以及高等技术学校学生之用。

Проф. Н. А. Бухарин

РАЗВИТИЕ  
КОНСТРУКЦИЙ АВТОМОБИЛЕЙ  
ВЫПУСК 10

АНАЛИЗ И ПЕРСПЕКТИВЫ РАЗВИТИЯ  
КОНСТРУКЦИЙ ТОРМОЗНЫХ  
СИСТЕМ АВТОМОБИЛЕЙ  
МАШГИЗ МОСКВА 1952

汽車構造的發展

第十册

(汽車制動系結構的分析和发展远景)

向平譯 鄭紅校

\*

人民交通出版社出版

北京安定門外和平里

上海市書刊出版業營業執照第100六分

上海市印刷三厂印刷 新華書店發行

\*

書號：15044·4170

開本：787×1092 菱 1/32 印張：4 1/16 字數：118,000

1957年12月上海第1版

1957年12月上海第1次印刷 印数：1—1,300 冊

定价(16)：0.60 元

## 目 录

导言 .....	3
一 制动系的选择和评价 .....	4
一般概念.....	4
选择和评价制动系的参数.....	5
二 制动系的型式 .....	18
制动机構.....	18
制动傳动裝置.....	23
三 对制动系提出的要求 .....	28
一般要求.....	28
加到各个車輪上的制动力矩值.....	28
加到被制動車輪上力矩大小的限制.....	30
汽車左右車輪間制动力分配的均匀性.....	33
制动和放松制动的快慢。制动器工作的協調性.....	35
制动机構摩擦表面的有效散热.....	39
四 蹄式制动器 .....	43
蹄式制动器的选择方案.....	43
蹄式制动器的零件.....	51
制动鼓；蹄和蹄的支承；向蹄傳力的裝置； 調整鼓和蹄的間隙的裝置	
五 带式和盤式制动器。吸收能量的裝置 .....	62
帶式制动器.....	62

盤式制動器.....	63
蹄-盤式制動器 .....	65
液壓式制動器.....	65
吸收能量的裝置.....	65
<b>六 摩擦对 .....</b>	<b>67</b>
制動襯帶的类型.....	67
摩擦对的工作.....	69
<b>七 机械式和液压式傳动裝置 .....</b>	<b>73</b>
机械式傳动裝置.....	73
液压式傳动裝置.....	73
<b>八 制動傳动裝置的加力器 .....</b>	<b>83</b>
<b>九 气压式、液压式、电力式和联合式自动傳动裝置 .....</b>	<b>92</b>
气压式和液压式傳动裝置.....	92
电力式和联合式傳动裝置.....	112
<b>十 汽車制動系的发展途徑 .....</b>	<b>115</b>
制动机構.....	115
制動傳动裝置.....	118
<b>十一 远景型式汽車用的制動系 .....</b>	<b>122</b>
輕便汽車用的制動器.....	122
載重汽車用的制動器.....	123
拖帶半掛車的拖車用的制動器.....	127
公共汽車用的制動器.....	127
特种汽車用的制動器.....	128
<b>参考文献 .....</b>	<b>128</b>

## 導　　言

苏联汽車工业的巨大发展責成設計師們要特別注意研究苏联汽車的結構問題，使之能更加适应于苏联的各种工作条件。

E. A. 楚达可夫院士对苏联新型汽車所拟定的基本要求是編寫本書的指导材料。

本書分析了各种制动系的結構，并对远景型式汽車的制动系結構提出了建議。

本書曾在汽車和汽車发动机科学研究院汽車專門實驗室(ОАЛ НАМИ)，同时有工厂、汽車工业企业和科学硏究机关代表參加下的會議上进行了討論。

# 一 制動系的選擇和評價

## 一般概念

汽車遠景型式的研究是以 E. A. 楚達可夫院士“蘇聯生產汽車的遠景型式”〔5〕著作中所指示的一般原則為基礎的。現在讓我們研究適合于汽車制動系的上述某些原則。

汽車制動系的可靠性，應該足以保證汽車在最惡劣的氣候和道路條件下正常工作。這些條件是±50°C 的氣溫範圍、具有漫長下坡和高山區的道路，以及汽車可能通過的沙漠地帶和土壤過濕的地區。

為了在與此不同的條件下，甚至在個別的情況下（例如，在山區行駛時）工作，而需要修改制動系時，其改裝應該是不大的。

制動系的工作壽命應該適應於汽車總的工作壽命。汽車大修時，只允許更換極少數零件（例如，蹄片襯帶、空氣壓縮機的活塞環等等）。設計師設計時，有責任選擇適當的材料並且考慮制動系最大負荷元件的應力，使在汽車通常使用條件下，元件的更換週期能與汽車大修週期相吻合。

在正確的技術保養下，即使汽車長期不能存放在車庫中時，制動系的工作壽命和可靠性不應該有所降低。

制動系的結構應當保證便於修理和調整。

為了便於修理和調整，制動系的結構必須預先考慮到：1) 零件的尺寸要使在磨損時能安裝所更換的襯套；2) 零件的形狀和余量，容許磨損時能加以磨削和磨削；3) 費重結構元件中零件的互換性。

制動系的結構應當尽可能地簡單、製造成本低，并考慮到不用缺乏的材料製造零件。在設計制動系和選擇其型式時，結構工藝性的要求是決定因素之一。但是，不允許為了簡化結構和降低生產成本而使它的使用品質變壞，即縮短使用壽命、使調整和技術保養複雜化、增加修理費用和

增加修理時間等。

制動系中的調整數量應該最少，而用提高每個個別調整穩定性來減少它的調整次數。應當採用自動調整的制動系結構，以免除駕駛員和技工的調整工作。

在沒有職業駕駛員保養的私人使用的輕便汽車上，以及在集體農莊和小規模汽車運輸企業使用的輕型載重汽車上，特別不希望制動系的調整數量太多。必須使這些汽車制動系的調整最簡單。這個要求對於公共汽車、重型載重汽車和高級的輕便汽車是比較不重要的，因為這些汽車一般是在有很好設備的車庫內由技術熟練的人員來保養的。

汽車制動系元件和零件的標準化和統一化，可使其名目大為減少，並使不同牌號汽車的許多零件能夠互換。

首先應該標準化的是用氣壓式和液壓式傳動裝置的制動器的金屬管和軟管及其接頭、制動帶、氣壓式和液壓式傳動裝置的油缸和氣室、輔助設備，以及所用的材料（制動液、潤滑油等）、空氣壓縮機，控制閥、制動鼓和制動蹄。只有在廣泛地進行研究工作和交流各種汽車在我國的生產與使用經驗的基礎上，才能實現這項任務。

在分析新型蘇聯汽車所需要的制動系型式時，必須研究現在正在生產的結構及其使用經驗。

### 選擇和評價制動系的參數

汽車制動系結構和型式是根據許多原始數據選擇的，其中主要的是：

- 1) 汽車的基本參數；
- 2) 汽車的最大減速度和最小制動距離；
- 3) 制動踏板或制動拉杆的最大容許應力，制動踏板或制動拉杆的最大位移，以及制動時駕駛員所作的最大功。

汽車基本參數中影響到制動器結構和型式的選擇的有：汽車型式、汽車最大速度、總重、軸的分配重量、汽車通常行駛的條件（市內、市外、平路或丘陵路等）。

制動系在汽車的減速度和制動距離方面應滿足下面的要求。各種型式的汽車應該有相同的最大減速度，而與汽車的重量无关。制動距離的

大小也應該相同，即當制動喚合時間●相同、制動系的作用效率相同及輪胎與路面的附着系數相等的條件下，制動距離應能保證相同。實現了這些要求可以使汽車行駛事故減少，因此在設計汽車制動裝置時必須考慮這些要求。

到現在為止，尚未能完全滿足這些要求。重型載重汽車的制動距離，特別在拖帶掛車時，大于輕便汽車和輕型載重汽車的制動距離，這是由於重型載重汽車和汽車列車的制動傳動裝置的喚合時間要長些。由此，汽車在成隊行駛時增加了發生事故的危險性，為此，汽車間隔也要增長。

近年來研究出來的制動系統結構，几乎能把保證減速度和制動距離都相同的制動器供給各式汽車。評價汽車制動性能時，制動距離是較之最大負加速度（減速度）更加重要的指標。

全輪制動的汽車，其制動距離可由下式求出〔1〕：

$$S_t = \frac{v_1}{3.6} (t_1 + \Delta t_1 + t_2) - 1.63\varphi t_2^2 + \frac{(v_1 - 17.7\varphi t_2)^2}{254\varphi} \quad (1)$$

式中  $v_1$  —— 制動開始時的速度，公里/小時；

$t_1$  —— 駕駛員的反應時間，秒；

$\Delta t_1$  —— 制動傳動裝置的滯後時間，秒；

$t_2$  —— 減速度曲線增長的時間，秒；

$\varphi$  —— 輪胎與路面的附着系數（此式中採用常數）。

駕駛員的反應時間  $t_1$  是  $0.7^{+0.8}_{-0.4}$  秒。

制動器喚合時間是隨制動傳動裝置的型式和制動器的結構，而在很廣大的範圍內變動著。對於小軸距的用機械式傳動裝置或液壓式傳動裝置的汽車， $\Delta t_1 + t_2$  的最小總值為  $0.15 \sim 0.2$  秒；對於大軸距的用氣壓式傳動裝置的重型載重汽車，其最小總值為  $0.4 \sim 0.8$  秒。帶有掛車的汽車，在個別情況下，制動傳動裝置的喚合時間增加到 2 秒，甚至更大。帶有電力式制動傳動裝置的汽車，喚合時間接近於零。

當喚合時間較大時，制動距離的大部份（在汽車的通常行駛速度下，

● 制動器的喚合時間被認為是從開始踩下踏板起到相當於規定制動強度的制動力全部達到被制動車輪上的時刻為止 ( $\Delta t_1 + t_2$ )。

可以达到制动距离总長度的 50~70%) 是由契合时间和駕駛員的反应時間所决定。

如果不考慮駕駛員的反应時間，因駕駛員的反应時間是不能表征制动系特性的；而仅仅考慮制动傳動裝置的契合時間，那么在紧急制动的情况下制动距离  $S' \tau$  (当  $\varphi=0.6$  和汽車开始制动的速度  $v_1=36$  公里/小时)为：

a) 当  $\Delta t_1=0.05$  秒和  $t_2=0.15$  秒 (小軸距的用机械式傳動裝置或液压式傳動裝置的汽車)时，

$$S' \tau = \frac{36}{3.6} (0.05+0.15) - 1.63 \cdot 0.6 \cdot 0.15^2 + \frac{(36-17.7 \cdot 0.6 \cdot 0.15)^2}{254 \cdot 0.6} = 9.78 \text{ 公尺；}$$

b) 当  $\Delta t_1=0.1$  秒和  $t_2=0.6$  秒 (大軸距的用气压式傳動裝置的載重汽車)时，

$$S' \tau = \frac{36}{3.6} (0.1+0.6) - 1.63 \cdot 0.6 \cdot 0.6^2 + \frac{(36-17.7 \cdot 0.6 \cdot 0.6)^2}{254 \cdot 0.6} = 12.45 \text{ 公尺。}$$

这样，仅仅由于增加了傳動裝置的契合時間，汽車制动距离就增加 2.67 公尺(27.3%)，这在热闹的市区行驶时具有很大的意义。同时上述的两种情况，制动时的減速度值是相同的，約为 6 公尺/秒<sup>2</sup>。兩种汽車制动系在最大減速度方面是有同等效果的，但是在制动距离方面第二种制动系就不如第一种制动系了。

制动情况大体上可分为两种：

1. 紧急制动，相当于最大制动强度的制动。紧急制动的次数一般不超过汽車总制动次数的 3 ~ 5%，而在頗大的程度上决定于行驶情况和駕駛員的技术。

紧急制动的減速度在某些道路上能达到 8 ~ 9 公尺/秒<sup>2</sup>。在輪胎和道路的附着系数  $\varphi$  极大和汽車制动系沒有故障的特殊情况下，減速度可以超过 9 公尺/秒<sup>2</sup>。較大的減速度使坐着的乘客感到不舒服，对于站着

的乘客会有危險。

2. 工作制动。工作制动的平均强度不超过紧急制动强度的40~50%，根据行驶条件它的次数不会少于汽車制动总次数的95~97%。工作制动的減速度通常不超过4公尺/秒<sup>2</sup>，而且这样的減速度对乘客來說是可以强烈地感觉到的。

关于允許加到制动踏板上或拉杆上的力的大小問題，現在还存在有不同的意見。

根据作者对70个女駕駛員的測力調查結果〔1〕，可以加到踏板上的最大力量平均不少于50公斤，在個別情況下可以增加到90~100公斤。这些数据是在5~7秒鐘的時間內連續踩下三次，中断5~6秒，和繼續大約30秒的長時間的踩下踏板的情況下得到的。

基于研究結果和汽車使用的資料，可以認為，如果踏板上的力为50公斤时，汽車減速度不低于4~5公尺/秒<sup>2</sup>，則制動系的工作是合格的。

为了減輕駕駛員的工作，无论汽車的重量多大，必須把50公斤的力量作为最大值。

加到輕便汽車踏板上的制动力可以少于加到載重汽車踏板上的力。总结輕便汽車多年使用的經驗結果，确定出加到踏板上的力与減速度之間的最佳关系(如图1上的影綫部份)。

1935年生产的許多汽車，踩下制动踏板时，其減速度值低于所确定的

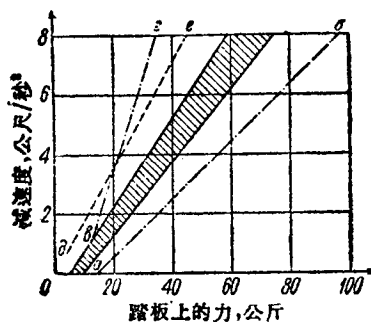


图1 輕便汽車的減速度与踩在制動踏板上的力的关系

最佳值(图1 a6綫)。1946年生产的某些汽車，踏板上加以一定的力时，其減速度值就大于最佳值(图1 e1綫)；这时，踩在踏板上所需的力小于最佳值。ae綫(图1)是減少加到制動踏板上的力的上限(易于踩下的踏板会降低制動的准确度)。

在某些情况下，为了达到规定的減速度，力求減少加到汽車制動踏板上的必需的力。

想減少帶有氣壓式傳動裝置和電力式傳動裝置制動系的制動踏板上所加的力的企圖，會引起某些相反的結果；因為所需的制动力很小时，由於駕駛員加到制動踏板上的力的变化，准确地調整制動強度的可能性就會显著地降低。可以認為，在最大制動強度时，加在踏板上的力應該不少于 20~25 公斤。

加到制動拉杆上的最大的力不应高于 30~40 公斤。重量較輕的汽車（2000 公斤以下），全制動时加到拉杆上所需的力一般不能大于上述值的 30~40%。

踏板的最大行程不應該很大。在制動襯帶磨損允許的条件下，載重汽車的踏板最大行程一般可以为 180 公厘而輕便汽車的为 140 公厘。在正常調整过的制動器上，全制動的踏板行程是最大行程的 40~50%。

載重汽車手制動器拉杆的最大行程应不大于 200 公厘，而輕便汽車的应不大于 140 公厘。在正常調整过的制動器上，全制動的拉杆行程也應該大約是最大行程的 40~50%。

汽車制動系應該保証左右对称車輪上的制动力相等。否則，制動时汽車可能会滑溜，此时，制動机構的某些部份可能会因其他部份負荷不足而負荷过大。

如果用  $P_{\tau n}$  代表加到右車輪上的制动力，用  $P_{\tau L}$  代表加到左車輪上的制动力，则表达制动力分配均匀系数的公式为

$$K_{\tau} = \frac{P_{\tau n}}{P_{\tau L}}$$

應該力求制動系能保証  $K_{\tau} = 1$ 。可以采用适当的制動机構以及制動傳動裝置来实现这个要求。

对汽車和汽車列車的制動系的重要要求是：制動机構工作的協調性，減少汽車滑溜的可能性，減少联接器中所产生的反应功力，并且縮短制動距离。

为了評价汽車制動系和制動情况可以利用制動图，制動图是制動时的減速度曲綫或者是加到汽車車輪上制动力的曲綫。制動图是根据加到制動踏板上的力和时间记录下来的。

作者所得到的制動图的实例如图 2 所示。三条曲綫都是用氣壓式傳

動裝置的制動器的。在制動圖上可以看出有下列表示制動過程和制動系統特性的幾個點和幾個區段：

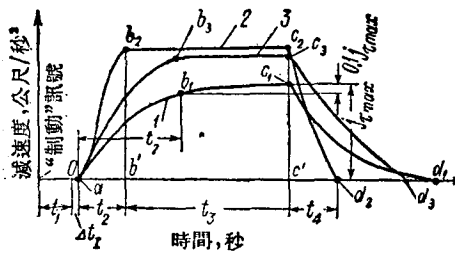


图 2 制动图的型式

1—膜式控制閥的 2—帶短輸氣管的活塞式控制閥 3—帶長輸氣管的活塞式控制閥的

是从 0.04 秒(小軸距和中等軸距的汽車具有液壓式傳動裝置時)到 0.3 秒(具有長約 3 公尺輸氣管的氣壓式傳動裝置時)；

a ——減速度曲線開始上升點(曲線自橫座標軸折離)；

$b_1, b_2, b_3$  ——各減速度曲線上升的終點。當減速度曲線繼續增長時(氣壓式傳動裝置)，點  $b_1$  位於  $j\tau_{max}$  的 0.9 的高度上(圖 2 曲線 1)；

$t_2$  ——減速度曲線增長的時間，根據同樣的研究數據，在相似的條件下，時間  $t_2$  是從 0.15 (小軸距汽車用液壓式傳動裝置時)到 1 秒(具有作用緩慢的氣壓式傳動裝置或真空加力器的汽車)；

$t_3$  ——全強度的制動時間；

$c_1, c_2, c_3$  ——各減速度曲線開始下降點(開始放鬆制動)；

$d_1, d_2, d_3$  ——各減速度曲線下降的終點(放鬆制動完毕)；

$t_4$  ——放鬆制動時間，根據同樣的試驗，是從 0.4 (液壓式傳動裝置用的制動液粘度小時)到 2 ~ 3 秒以上(液壓式傳動裝置用的制動液粘度高時，氣壓式傳動裝置空氣通過截面較小時)；

$j\tau_{max}$  ——制動圖任何區段上的最大減速度。

如果不計算駕駛員反應時間  $t_1$  和時間  $\Delta t_1$ ，則尚未完全停車的制動過程的總時間是  $t = t_2 + t_3 + t_4$ 。

全強度制動時減速度的平均值(制動圖 2 上  $b'c'$  段)為

$$j\tau_1 = \frac{\text{面积 } b' b_2 c_2 c'}{b' c'}.$$

全部制動時間內減速度的平均值(制動圖上  $ad_2$  段)為

$$j\tau_2 = \frac{\text{面积 } ab_2 c_2 d_2}{ad_2}.$$

制動強度系数  $j\tau$  是減速度曲綫  $ab_1$  的微分(路程對時間的三次微分),用以表示制動的平穩性①。當  $j\tau > 15 \sim 20$  公尺/秒<sup>3</sup>時,坐着的乘客會有不舒服的感覺。

制動圖的形狀是決定于制動傳動裝置和制動器的型式和結構,也決定于駕駛員加到踏板上的力的大小、力的性質和加力的速度。

汽車制動機構是按下列的參數來選擇和評價的。

**摩擦襯帶摩擦表面上的單位壓力** 如果認為制動蹄和制動鼓是絕對剛體的,及襯帶的變形是和力的大小成正比例的,那麼沿蹄片襯面長度上的單位壓力  $p$  是按正弦規律分布(圖 3 a):

$$p = p_{\max} \sin \beta, \quad (2)$$

式中  $p_{\max}$  —— 最大單位壓力,公斤/公分<sup>2</sup>;

$\beta$  —— 襪帶某點位置的角度。

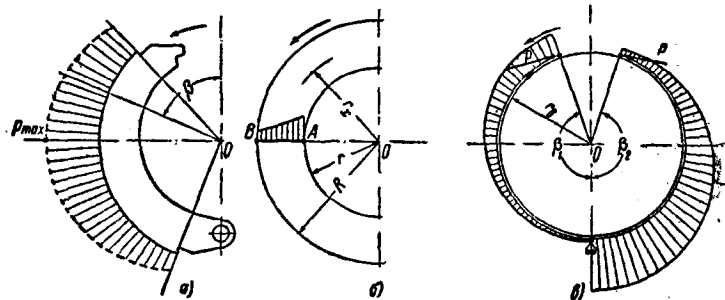


图 3 各种型式制動器的單位壓力圖  
a)蹄式的 b)盤式的 c)帶式的

① E. A. 楚達可夫院士第一次指出:采用  $j\tau$  作為評價汽車制動情況是合理的。

如象 E. A. 楚达可夫院士的研究所指出的，在使用过的蹄片襯帶上，沿長度分布的單位壓力可以認為是均匀的。

对于盤式制動器說來，圓盤工作表面上沿寬度的單位壓力將不是一样的(1)(图 36)：

$$p = \frac{Y}{2\pi(R-r)r_x}, \quad (3)$$

式中  $Y$  —— 圓盤上的壓力，公斤。

襯帶表面上的最大單位壓力是在 A 点，而最小的單位壓力則在 B 点。

帶式制動器的單位壓力根据制動帶所抱的弧形而变化(图 3b)：

左帶

$$p = \frac{P}{r_6 b e^{\mu \beta}}; \quad (4)$$

右帶

$$p = \frac{P}{r_6 b} e^{\mu \beta}; \quad (5)$$

式中  $r_6$  —— 制動鼓的半徑，公分；

$b$  —— 襯帶寬度，公分。

角  $\beta$  是从力  $P$  加到帶上的点算起。

如列举的公式所示，所有三种型式的制動器，其單位壓力都是变量，而且帶式制動器的單位壓力最不均匀。这就是襯帶磨損不均匀的原因。

容許的最大單位壓力决定于制動蹄和制動鼓的材料的物理性質；其变动範圍很广，紧急制動时在摩擦襯帶上达到  $12 \sim 16$  公斤/公分<sup>2</sup>。

在个别情况下，即使單位壓力很高时，襯帶的使用情况还能令人滿意。

單位摩擦功  $L_{mp}$  如果把襯帶上的單位壓力当作均匀分布的，在 1 公分<sup>2</sup>襯帶的工作表面上的單位摩擦功，可以按下面的公式求出

$$L_{mp} = \frac{Gv_1^2}{254F_Z} \text{ 公斤公尺/公分}^2, \quad (6)$$

式中  $G$  —— 汽車总重，公斤；

$v_1$ ——开始制动时的車速,公里/小时;

$F_2$ ——汽車各个制动器襯帶的总面积(手制動器的除外),公分<sup>2</sup>。

輕便汽車蹄式制动器現有的結構中,在制动开始的速度为30公里/小时时, $L_{mp}$ 值达到10公斤公尺/公分<sup>2</sup>,而載重汽車的达到20公斤公尺/公分<sup>2</sup>。

**單位摩擦功率** 制动鼓工作表面上的單位摩擦功率  $B_p$ ,可按下面的公式求出

$$B_p = \frac{1}{70.6} \cdot \frac{Gv_{max}j\tau}{\Sigma(2\pi r_6 b)} \text{ 公斤公尺/秒公分}^2, \quad (7)$$

式中  $v_{max}$ ——汽車的最大速度,公里/小时;

$j\tau$ ——制动时的平均減速度,公尺/秒<sup>2</sup>。

在这个公式中,仅考慮制动鼓的摩擦表面为其圓周長度和蹄片襯帶寬度的乘积。

根据重型公共汽車蹄式制动器的試驗結果証明, $B_p$ 值不应超过25公斤公尺/秒公分<sup>2</sup>(当  $j\tau=4\sim5$  公尺/秒<sup>2</sup>时)。如果  $B_p$ 大于这个值,制动鼓可能过热并且在它的表面上形成裂縫。

每1公分<sup>2</sup>蹄片襯帶摩擦表面分攤的汽車總量  $G_g'$  按現有結構的数据,輕便汽車是1.2~2.0公斤/公分<sup>2</sup>,載重汽車是2.5~3.5公斤/公分<sup>2</sup>。这些指标使能够評价現代汽車制造业所采用的蹄式制动器襯帶表面的选择正确性。

**制動鼓或制動盤的溫度** 有摩擦襯帶作用着的制动鼓或制动盤,其溫度在制动时不應該超过規定的數值。

制动鼓和制动盤的溫度可以在試驗室的条件下求得,也可以在道路試驗时求得。

在試驗室的慣性試驗台上試驗时,是在汽車的減速度为4~5公尺/秒<sup>2</sup>,开始速度为50公里/小时的情况下进行制动,各次制动間歇时间为2分鐘。这时,10次連續制动以后,制动鼓的溫度不能高于該襯帶的容許溫度( $250\sim350^{\circ}\text{C}$ )。

在道路試驗中,也可以用同样的程序。汽車行駛时需要專門仪器来測定制動鼓的溫度。

評價制動機構的效率可以用效率系数  $K_0$  [1]，这个系数等于制動器的全部制動蹄上或制動帶上的切線摩擦力的总和  $X$  对作用在制動蹄或制動帶上的力的总和  $\Sigma P$  之比：

$$K_0 = \frac{X}{\Sigma P}.$$

效率系数  $K_0$  愈大，则用規定的制動强度制動汽車所应加到制動器上的力愈小。因此，使  $K_0$  值較大的制動機構的結構，能够利用最簡單的非自動傳動裝置有效地制動重量頗大的汽車。

**制動系全傳動比  $i$**  全傳動比  $i$  等于作用在汽車車輪上 总制动力  $\Sigma P_r$  对加到踏板上的力  $P_n$  之比：

$$i = \frac{\Sigma P_r}{P_n}. \quad (8)$$

全傳動比完整地表征着汽車制動系的效率。

**傳動裝置的力傳動比  $i_r$**  力傳動比等于作用在全部制動器的每个制動蹄上的力的总和与踏板上的力  $P_n$  之比：

$$i_r = \frac{\Sigma (P_1 + P_2)}{P_n}, \quad (9)$$

式中  $P_1$  和  $P_2$  —— 加到制動器各个制動蹄上的力，公斤。

**傳動裝置的動力傳動比  $i'_r$**  动力傳動比等于踏板行程对一个制動器的制動蹄与凸輪接触处的位移之比：

$$i'_r = \frac{S_n}{x}, \quad (10)$$

式中  $S_n$  —— 預先消除傳動裝置中間隙以后的制動踏板行程；

$x$  —— 制動蹄与凸輪(或与液压式傳動裝置的分泵活塞)接触处的总位移。

### 非自動傳動裝置的效率

$$\eta_{np} = \frac{\Sigma R_i}{R_n}, \quad (11)$$

式中  $\Sigma R_i$  —— 全部制動蹄張开时产生的总功；

$R_n$  —— 制動时踏板上的功。